

(675) SUS316鋼におけるクリープ疲労複合荷重下の破断寿命に及ぼす疲労荷重条件の影響

金属材料技術研究所

八木晃一, 久保清

大場敏夫, 金丸修

1. 緒言 著者らは、これまでクリープ損傷形態に着目し、クリープ荷重条件（温度及び応力）を種々に変え、クリープ疲労複合荷重下の破断寿命に及ぼすクリープ損傷と疲労損傷の係り合いについて検討し、クリープ疲労相互作用下の破壊条件を明らかにしてきた。¹⁾引続き、クリープ疲労複合荷重下の破断寿命に及ぼす疲労荷重条件（ひずみ速度及び全ひずみ幅）の影響を明らかにするために研究を行っている。前報では²⁾750°Cにおけるひずみ速度の影響について報告した。本研究では650°Cでのひずみ速度及び全ひずみ幅の影響について検討した。

2. 実験方法 供試材は前報と同じSUS316鋼である。³⁾クリープ疲労複合荷重試験方法は既報のとおりである。

クリープ疲労複合荷重試験の試験温度を650°C, Fig.1に示す。 σ_c 及び σ_a をそれぞれ 17.5 kgf/cm^2 及び 10 h とした。疲労荷重部分のひずみ速度($\dot{\epsilon}$)に関しては全ひずみ幅 $\Delta \epsilon_t = 1\%$ の条件で $6\%/\text{min}$ 及び $0.6\%/\text{min}$ について検討した。また、 $\Delta \epsilon_t$ に関しては $\dot{\epsilon} = 6\%/\text{min}$ の条件で 0.6 , 1.0 及び 1.5% について検討した。

3. 実験結果

3.1 疲労試験結果 ひずみ速度が $6\%/\text{min}$ と $0.6\%/\text{min}$ の三角波疲労試験の破断寿命に顕著な差は認められなかった。破面観察を行った結果、 $6\%/\text{min}$, $0.6\%/\text{min}$ ともにストライエーションが観察され、粒内破壊であった。

3.2 クリープ疲労複合荷重試験結果 クリープ疲労複合荷重試験結果について破断までに蓄積されたクリープ損傷量(ϕ_c)及び疲労損傷量(ϕ_a)を線形寿命損傷則を使って評価した。 ϕ_c 及び ϕ_a の評価式は既報と同じである。ひずみ速度の影響をFig.2に示す。ひずみ速度が $0.6\%/\text{min}$ の場合の ϕ_c vs. ϕ_a 関係は $6\%/\text{min}$ の場合と同じ傾向で、破断寿命が ϕ_c かまたは ϕ_a のどちらか一方の蓄積によって決ったような関係である。しかし破断までに蓄積された ϕ_c 及び ϕ_a の値は $0.6\%/\text{min}$ のほうが小さい。全ひずみ幅の影響をFig.3に示す。全ひずみ幅が大きいほうが破断までに蓄積される ϕ_a の値は小さいようである。これらの結果から、クリープ疲労複合荷重下の破壊条件(ϕ_c vs. ϕ_a 関係)は疲労荷重条件の影響を受け、疲労荷重1サイクルの時間が長くなるほど ϕ_c 及び ϕ_a の値は小さくなることがわかった。

参考文献 1)K.Yagi et al., Trans. ISIJ, 25(1985), 1179. 2)八木ら, 鉄と鋼, 71(1985), S1332. 3)八木ら, 材料試験技術, 30(1985), 53.

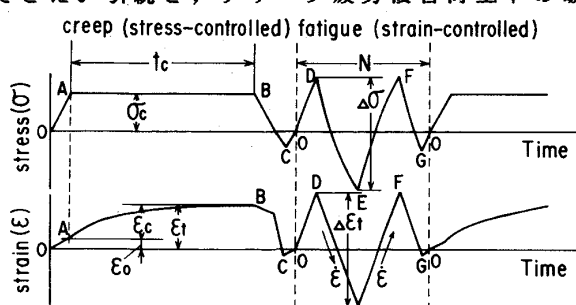


Fig.1. Combined creep-fatigue loading test method.

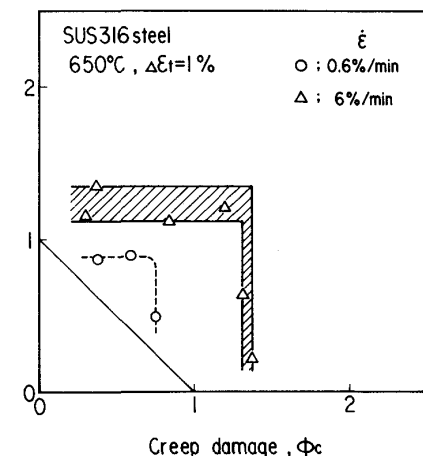


Fig.2. Effect of strain rate under fatigue loading on creep damage-fatigue damage relation.

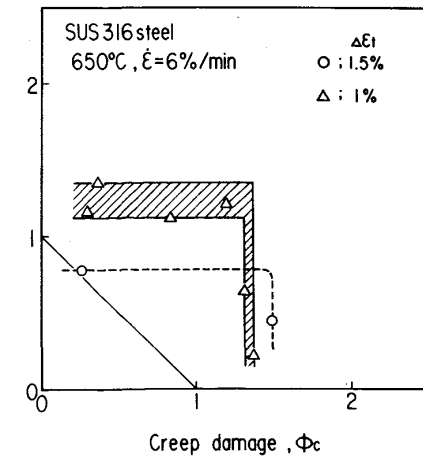


Fig.3. Effect of total strain range in fatigue loading on creep damage-fatigue damage relation.